

# Note of Fluid Dynamics

Wang Yizhen

2019 年 10 月 3 日

# 前言

流体力学笔记。主要内容来自 Nicholas Hutchins 教授撰写的流体力学课程讲义，同时参考了一部分朗道的《流体力学》，以及沈维道的《工程热力学》

所有内容仅供学习参考，遵循 CC-BY-SA-4.0 开源协议。有疏漏之处请提交 Issue 或发起 Pull request。能力一般，水平有限，恳请斧正。

目录

1	不可压缩流体	1
2	可压缩流体 - 基本公式	2
2.1	可压缩流体的重要关系式	2
2.1.1	连续性方程（质量守恒）	2
2.2	动量守恒	2
2.2.1	能量守恒	2
2.2.2	其他可用关系式	3
2.3	声速	3
3	等熵可压缩流	4
3.1	可压缩流体的欧拉方程	4
3.2	温度、压力与密度关系	4
3.3	二维喷管中的流体	4
3.4	喷管中的流体	4
3.5	喷管的截面积	5
4	激波与扩展波	6
4.1	激波	6
4.2	导管内的熵变	6
4.3	正向激波内的马赫数变化	7
4.4	弱激波下的熵增	8
4.5	滞止压力在激波中的变化	8
4.6	二维喷管中的流体	8
4.7	斜激波	10
4.8	马赫角	11
4.9	偏折角 $\theta$ 与激波倾角 $\beta$ 间的关系	11
5	数学	13
5.1	高斯散度定理	13

# 1 不可压缩流体

暂时先搁置，先整理可压缩流体章节。

## 2 可压缩流体 - 基本公式

对于不可压缩流体而言,  $\rho = \text{constant}$ ; 可压缩流体则一般  $\rho \neq \text{constant}$ 。

### 2.1 可压缩流体的重要关系式

#### 2.1.1 连续性方程 (质量守恒)

对于一个控制体, 有

$$[\text{控制体内的质量改变率}] + [\text{通过控制体边界的质量}] = 0$$

利用梯度算子, 可以写作

$$\frac{\partial \rho}{\partial t} + \nabla(\rho \mathbf{V}) = 0$$

借助高斯散度定理, 对等式两边积分, 有

$$\frac{\partial}{\partial t} \iiint_{\Omega} \rho d\Omega + \oiint_S \rho \mathbf{V} \cdot d\mathbf{S} = 0$$

### 2.2 动量守恒

考虑一个控制体的动量,

$$[\text{控制体动量的变化率}] = [\text{对控制体施加的外力}]$$

对控制体施加的合外力可以视为三个部分的和, 压力、体积力和粘滞力的共同效果导致了控制体动量的改变。在三个方向的分量可以表示为:

$$\begin{aligned} \frac{\partial(\rho u)}{\partial t} + \nabla(\rho u \mathbf{V}) &= -\frac{\partial p}{\partial x} + \rho f_x + (F_x)_{\text{viscous}} \\ \frac{\partial(\rho v)}{\partial t} + \nabla(\rho v \mathbf{V}) &= -\frac{\partial p}{\partial y} + \rho f_y + (F_y)_{\text{viscous}} \\ \frac{\partial(\rho w)}{\partial t} + \nabla(\rho w \mathbf{V}) &= -\frac{\partial p}{\partial z} + \rho f_z + (F_z)_{\text{viscous}} \end{aligned}$$

再次对等式两边积分, 并利用高斯散度定理可得

$$\frac{\partial}{\partial t} \iiint_{\Omega} \rho \mathbf{V} d\Omega + \oiint_S (\rho \mathbf{V} \cdot d\mathbf{S}) \mathbf{V} = - \oiint_S p d\mathbf{S} + \iiint_{\Omega} \rho \mathbf{f} d\Omega + \mathbf{F}_{\text{viscous}}$$

左侧第一项可以视为控制体内动量的变化量, 第二项则是通过控制体边界净增加/减少的动量; 等式右侧第一项是作用在控制体上的压力之和 (负号由于压力与单位面积向量的方向相反), 第二项是控制体体积力之和, 第三项则是总的粘滞力。

#### 2.2.1 能量守恒

从热力学第一定律, 我们有

$$\Delta E = Q + W$$

即

$$[\text{控制体内的能量变化率}] = [\text{传递给控制体的热功率}] + [\text{外界对控制体做功的功率}]$$

微分形式可以写为

$$\frac{\partial}{\partial t} \left[ \rho \left( e + \frac{V^2}{2} \right) \right] + \nabla \cdot \left[ \rho \left( e + \frac{V^2}{2} \right) \mathbf{V} \right] = \rho \dot{q} + \dot{\mathbf{Q}}'_{\text{viscous}} - \nabla \cdot (p \mathbf{V}) + \rho(\mathbf{f}, \mathbf{V}) + \dot{\mathbf{W}}'_{\text{viscous}}$$

积分形式:

$$\frac{\partial}{\partial t} \iiint_{\Omega} \left[ \rho \left( e + \frac{V^2}{2} \right) \right] d\Omega + \oint_S \rho \rho \left( e + \frac{V^2}{2} \right) \mathbf{V} \cdot d\mathbf{S} = \iiint_{\Omega} \rho \dot{q} d\Omega - \oint_S (p \mathbf{V}) \cdot d\mathbf{S} + \iiint_{\Omega} \rho(\mathbf{f} \cdot \mathbf{V}) d\Omega + \dot{\mathbf{Q}}_{\text{viscous}} + \dot{\mathbf{W}}_{\text{viscous}}$$

### 2.2.2 其他可用关系式

理想气体状态方程

$$p = \rho RT$$

其中  $R$  为气体常数,

$$R = \frac{R_u}{MW}$$

内能关系:

$$e = c_v T$$

焓关系:

$$h = c_p T$$

绝热指数与热容关系:

$$\gamma = \frac{c_p}{c_v}$$

$$c_p - c_v = R$$

绝热（等熵）过程:

$$\frac{p}{\rho^\gamma} = \text{const}$$

## 2.3 声速

$$a^2 = \frac{\gamma p}{\rho} = \gamma RT$$

由此可定义马赫数

$$M = \frac{V}{a} = \text{Mach number}$$

类似地, 可以定义水中的波速

$$c = \sqrt{gy}$$

式中,  $g$  为重力加速度,  $y$  为水深。同样也可定义 Froude 数,

$$\text{Froude number} = F = \frac{V}{\sqrt{gy}}$$

### 3 等熵可压缩流

#### 3.1 可压缩流体的欧拉方程

$$\begin{aligned}\frac{a^2}{\gamma - 1} + \frac{V^2}{2} &= \text{const} \\ \frac{p}{\rho} \frac{\gamma}{\gamma - 1} + \frac{1}{2} V^2 &= \text{const} \\ \frac{1}{2} V^2 + T c_p &= \text{const}\end{aligned}$$

滞止温度与滞止焓：

$$\begin{aligned}\frac{1}{2} V^2 + T c_p &= T_0 c_p \\ \frac{1}{2} V^2 + h &= h_0\end{aligned}$$

#### 3.2 温度、压力与密度关系

$$\begin{aligned}\frac{T_0}{T} &= 1 + \frac{\gamma - 1}{2} M^2 \\ \frac{p_0}{p} &= \left(1 + \frac{\gamma - 1}{2} M^2\right)^{\frac{\gamma}{\gamma - 1}} \\ \frac{\rho_0}{\rho} &= \left(1 + \frac{\gamma - 1}{2} M^2\right)^{\frac{1}{\gamma - 1}}\end{aligned}$$

#### 3.3 二维喷管中的流体

考虑连续性方程：

$$\begin{aligned}\rho A V &= (\rho + d\rho)(A + dA)(V + dV) \\ 0 &= \frac{d\rho}{\rho} + \frac{dA}{A} + \frac{dV}{V}\end{aligned}$$

考虑动量守恒（牛顿第二定律）：

$$\frac{dp}{\rho} + V dV = 0$$

#### 3.4 喷管中的流体

考虑

$$\frac{dp}{\rho} + V dV = 0$$

代入

$$\begin{aligned}a^2 &= \frac{dp}{d\rho} \\ M^2 &= \frac{V^2}{a^2}\end{aligned}$$

可以得到

$$\frac{d\rho}{\rho} = -M^2 \frac{dV}{V}$$

再把此式代回

$$\frac{d\rho}{\rho} + \frac{dA}{A} + \frac{dV}{V} = 0$$

不难得到

$$\frac{dA}{A} = (M^2 - 1) \frac{dV}{V}$$

上式揭示了喷管截面积、马赫数与流体速度间的关系。 $M = 0$  时，流体可以视为不可压缩流体； $0 < M < 1$  时为亚音速流，渐缩喷管加速流体，渐扩喷管减速流体； $M = 1$  时为音速流，喷管截面积在此时取到最值； $M > 1$  时为超音速流，渐缩喷管减速流体，渐扩喷管加速流体。

为了得到超音速流体，需要使用缩放喷管（拉伐尔喷管）。

### 3.5 喷管的截面积

利用先前推导的温度、压力、密度关系，

$$\begin{aligned}\frac{T_0}{T} &= 1 + \frac{\gamma - 1}{2} M^2 \\ \frac{p_0}{p} &= \left(1 + \frac{\gamma - 1}{2} M^2\right)^{\frac{\gamma}{\gamma - 1}} \\ \frac{\rho_0}{\rho} &= \left(1 + \frac{\gamma - 1}{2} M^2\right)^{\frac{1}{\gamma - 1}}\end{aligned}$$

在喉部位置，马赫数  $M = 1$ ，并且考虑空气的绝热指数  $\gamma = 1.4$ ，可以得到喉部的状态：

$$\begin{aligned}\frac{T^*}{T_0} &= 0.833 \\ \frac{p^*}{p_0} &= 0.528 \\ \frac{\rho^*}{\rho_0} &= 0.634\end{aligned}$$

另一方面，利用连续性方程，统一代换为马赫数之比，即可得到任意截面面积与喉部截面积之比：

$$\frac{A}{A^*} = \left(\frac{1}{M}\right) \left(\frac{2}{(\gamma + 1)} \left[1 + \left(\frac{\gamma - 1}{2}\right) M^2\right]\right)^{\frac{\gamma + 1}{2(\gamma - 1)}}$$

其中  $A^*$  为对应  $M^* = 1$  的喉部截面积。

类似的，利用可压缩流体的伯努利方程（取参考点为滞止点），附加上绝热关系，可以得到，当地速度只与当地压力有关：

$$V = \sqrt{\frac{2\gamma}{\gamma - 1} \frac{p_0}{\rho_0} \left(1 - \left(\frac{p}{p_0}\right)^{\frac{\gamma - 1}{\gamma}}\right)}$$



## 4 激波与扩展波

### 4.1 激波

考虑如图 4.1所示的导管，可以列写出相关的质量、动量、能量守恒方程式：

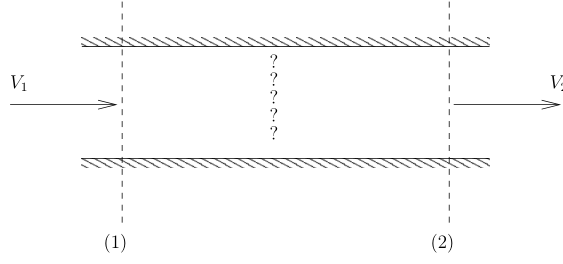


图 4.1: 正向激波

$$\begin{aligned}\rho_1 V_1 A &= \rho_2 V_2 A = \dot{m} \\ p_1 A + \rho_1 A V_1^2 &= p_2 A + \rho_2 A V_2^2 \\ \frac{V_1^2}{2} + \frac{\gamma}{\gamma-1} \frac{p_1}{\rho_1} &= \frac{V_2^2}{2} + \frac{\gamma}{\gamma-1} \frac{p_2}{\rho_2}\end{aligned}$$

对于该方程，一个非常直观的解就是  $p_1 = p_2$ ,  $\rho_1 = \rho_2$ ,  $V_1 = V_2$ .

但除此之外，利用动量式除以质量式，代入能量式，并利用理想气体状态方程，可以得到一个非平凡的解：

$$\begin{aligned}\frac{p_2}{p_1} - 1 &= \frac{2\gamma}{\gamma+1} (M_1^2 - 1) \\ \frac{\rho_2}{\rho_1} - 1 &= \frac{M_1^2 - 1}{1 + \frac{\gamma-1}{2} M_1^2} \\ \frac{T_2}{T_1} &= \frac{(2\gamma M_1^2 - (\gamma-1)) (2 + (\gamma-1) M_1^2)}{(\gamma+1)^2 M_1^2} \\ \frac{T_2}{T_1} - 1 &= \frac{2(\gamma-1) (\gamma M_1^2 + 1) (M_1^2 - 1)}{(\gamma+1)^2 M_1^2}\end{aligned}$$

### 4.2 导管内的熵变

$$\begin{aligned}T ds &= du + p dv \\ dh &= du + p dv \\ v &= \frac{1}{\rho} \\ ds &= c_p \frac{dT}{T} - R \frac{dp}{p} \\ s_2 - s_1 &= c_p \ln \left( \frac{T_2}{T_1} \right) - R \ln \left( \frac{p_2}{p_1} \right) = \ln \left[ \left( \frac{T_2}{T_1} \right)^{c_p} \left( \frac{p_1}{p_2} \right)^R \right] \\ \frac{s_2 - s_1}{c_v} &= \ln \left[ \left( \frac{T_2}{T_1} \right)^\gamma \left( \frac{p_1}{p_2} \right)^{\gamma-1} \right] = \ln \left[ \left( \frac{\rho_1}{\rho_2} \right)^\gamma \left( \frac{p_2}{p_1} \right) \right]\end{aligned}$$

代入上一节中关于压力比与密度比的式子，并且定义  $m = M_1^2 - 1$ ，最终我们可以得到

$$\frac{s_2 - s_1}{c_v} = \ln \left\{ \left[ \frac{(m+1)(\gamma-1)+2}{(m+1)(\gamma+1)} \right]^\gamma \left[ 1 + \frac{2\gamma m}{\gamma+1} \right] \right\} = f(m)$$

可以发现，导管内的熵变只与上游马赫数以及绝热指数相关。导管内的熵变可以用两部分来表示，

$$s_2 - s_1 = \Delta s_q + \Delta s_{irr}$$

其中第一项为传热带来的熵变，第二项为不可逆过程带来的熵变。如果考虑绝热流，那么根据热力学第二定律，我们可以得到

$$s_2 - s_1 \geq 0$$

从而

$$M_1^2 - 1 \geq 0$$

$$M_1^2 \geq 1$$

$$\frac{p_2}{p_1} \geq 1$$

$$\frac{\rho_2}{\rho_1} \geq 1$$

$$\frac{V_2}{V_1} \leq 1$$

$$\frac{T_2}{T_1} \geq 1$$

$$\frac{T_{02}}{T_{01}} = 1$$

因此，如果等截面导管内的流体存在熵变，或是流体状态发生改变，那么入口处的流体必须是超音速的。

### 4.3 正向激波内的马赫数变化

仍然从质量守恒（连续性）方程出发，将流速用马赫数替代，并代入理想气体状态方程、声速定义和压力比、密度比关系，可以得到

$$M_2^2 = \frac{2 + (\gamma - 1)M_1^2}{2\gamma M_1^2 - \gamma + 1}$$

$$M_2^2 - 1 = \frac{\frac{\gamma+1}{2}(1 - M_1^2)}{\gamma(M_1^2 - 1) + \frac{\gamma+1}{2}}$$

从而，我们得到了出口、入口马赫数  $M_2$   $M_1$  间的关系。如图 4.2所示。

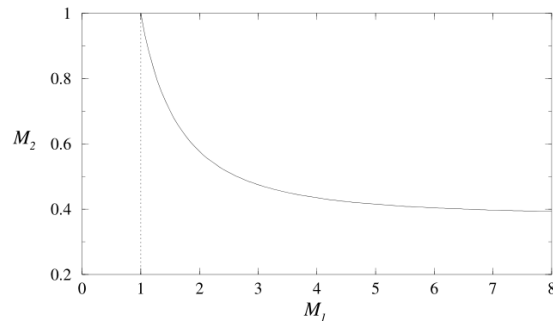


图 4.2: 出口、入口马赫数关系

可以看出，入口处为超音速流体，出口处则为亚音速流体。因此可以得出结论：超音速流在经历激波后，变为亚音速流。

#### 4.4 弱激波下的熵增

弱激波定义为

$$\frac{p_2}{p_1} \approx 1$$

不难得到，在此条件下的入口马赫数接近 1。同时由于  $m = M_1^2 - 1 \rightarrow 0$ ，因此

$$f(m) \approx \frac{1}{15} m^3$$

#### 4.5 滞止压力在激波中的变化

对于等熵流，我们有

$$\frac{p_0}{p} = \left(1 + \frac{\gamma-1}{2} M^2\right)^{\frac{\gamma}{\gamma-1}}$$

但对于激波而言，这个等式并不成立，因为激波本身并不是一个等熵过程。但对于间断面前后的区域，分别有

$$\begin{aligned} \frac{p_{01}}{p_1} &= \left(1 + \frac{\gamma-1}{2} M_1^2\right)^{\frac{\gamma}{\gamma-1}} \\ \frac{p_{02}}{p_2} &= \left(1 + \frac{\gamma-1}{2} M_2^2\right)^{\frac{\gamma}{\gamma-1}} \\ \frac{p_{02}}{p_{01}} &= \frac{p_2}{p_1} \left(\frac{1 + \frac{\gamma-1}{2} M_2^2}{1 + \frac{\gamma-1}{2} M_1^2}\right)^{\frac{\gamma}{\gamma-1}} \end{aligned}$$

可以替换式中的压力比和  $M_2$ ，从而得到

$$\frac{p_{02}}{p_{01}} = \left(\frac{\gamma+1}{2} M_1^2\right)^{\frac{\gamma}{\gamma-1}} \left(1 + \frac{\gamma-1}{2} M_1^2\right)^{\frac{-\gamma}{\gamma-1}} \left(\frac{2\gamma}{\gamma+1} M_1^2 - \frac{\gamma-1}{\gamma+1}\right)^{\frac{-1}{\gamma-1}}$$

由于入口处为超音速流，因此  $M_1 > 1$ ，

$$\frac{p_{02}}{p_{01}} < 1$$

可以得知，滞止压力在经历激波后将会下降，且入口处马赫数越高，压力下降越多。

#### 4.6 二维喷管中的流体

$$\frac{A^*}{A} = \frac{\left(\frac{p}{p_0}\right)^{\frac{1}{\gamma}} \left(1 - \left(\frac{p}{p_0}\right)^{\frac{\gamma-1}{\gamma}}\right)^{\frac{1}{2}}}{\left(\frac{\gamma-1}{2}\right)^{\frac{1}{2}} \left(\frac{2}{\gamma+1}\right)^{\frac{\gamma+1}{2(\gamma-1)}}}$$

对于一个确定的喷管，如果能够确定出口处流体是超音速流体，那么出口处的压力比  $p_e/p_0$  就是唯一确定的。但是事实上，出口处的压力可以被设计为任意的值，这会导致在渐扩喷管中一定会出现激波，这个过程会是不可逆的。如图 4.3所示，分别展示了几种不同出口压力下，激波产生的位置。

- (7)  $p_{e7}/p_0 = p_e/p_0$ ，全过程均为等熵流。

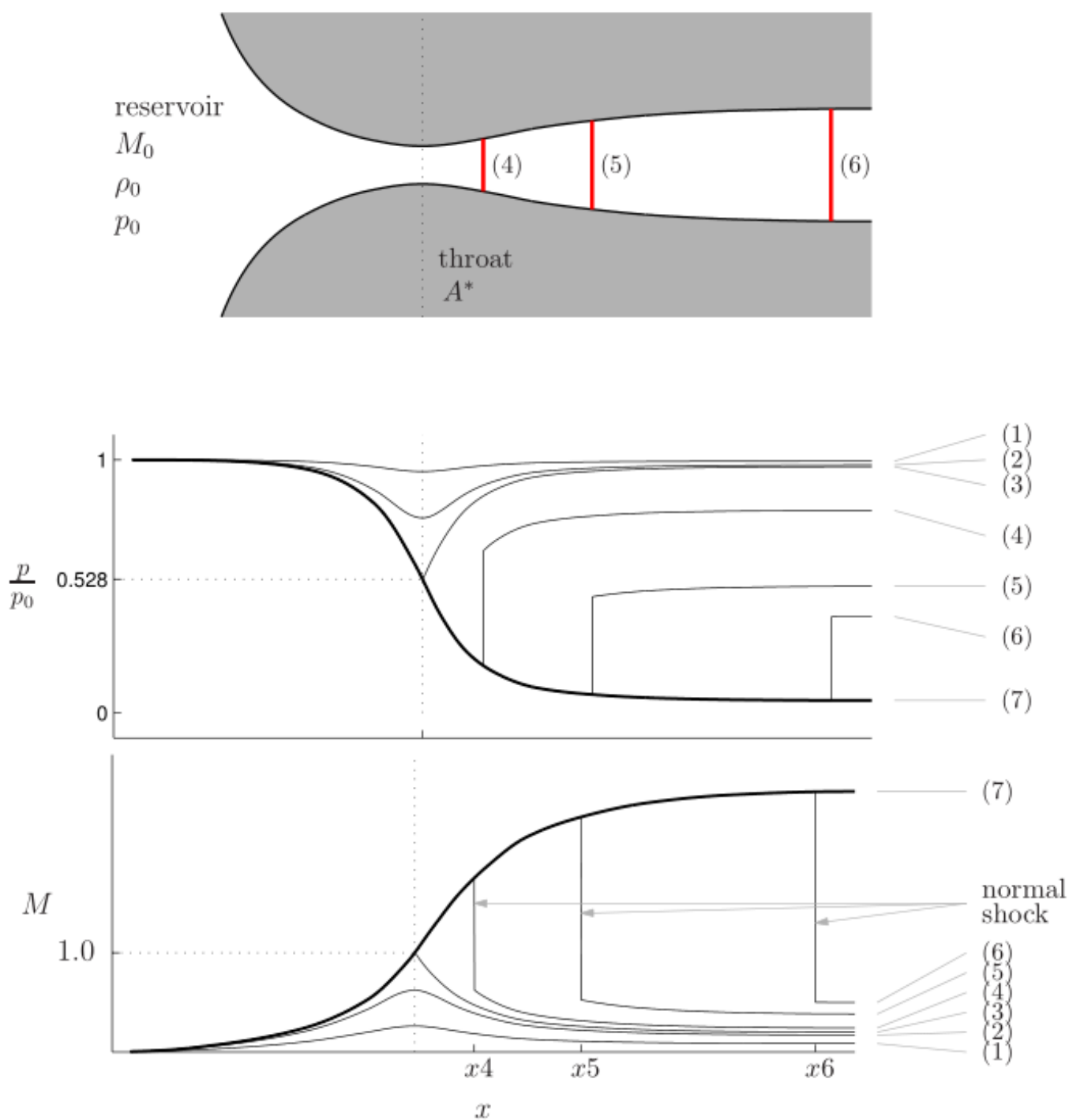


图 4.3: 出口压力不同导致的激波

- (1), (2) 流体全程均未超过声速，同时全程均为等熵流
- (3) 出口压力的设置使得在喉部的流体恰好达到声速。此时，在喉部会发生弱激波，在渐扩喷管部分流体会减速，但流体全程仍为等熵流。
- (4) 当  $p_{e4} < p_{e3}$  时，流体在通过喉部之后将无法保持等熵流，因为出口压力  $p_{e4}/p_0 > p_{e7}/p_0$ ，因此一定会在渐扩喷管的某个部分发生激波。
- (5), (6) 与 (4) 类似，但由于压力比与  $p_{e7}/p_0$  更加接近，因此激波发生的位置也更加接近出口位置

- 如果压力进一步降低，斜激波将会发生

## 4.7 斜激波

考虑如图 4.4所示的斜激波，

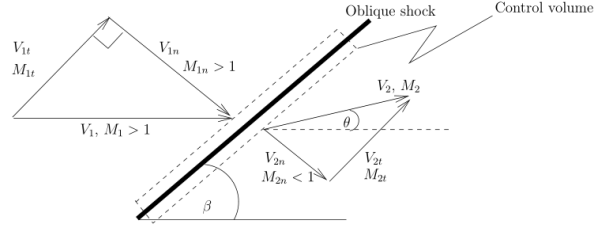


图 4.4: 斜激波

考虑连续性方程与切向和法向的动量：

$$\rho_1 V_{1n} = \rho_2 V_{2n}$$

$$p_1 + \rho_1 V_{1n}^2 = p_2 + \rho_2 V_{2n}^2$$

$$\rho_1 V_{1n} V_{1t} = \rho_2 V_{2n} V_{2t}$$

不难得到  $V_{1t} = V_{2t}$ 。由此我们可以得出，对于斜激波，在法向上，其规律与正激波一致；在切向上，速度分量则不产生变化。

如果我们基于上述结果观察一个斜激波，我们就会发现，斜激波的存在会导致流体的流向发生改变，如图 4.5所示。

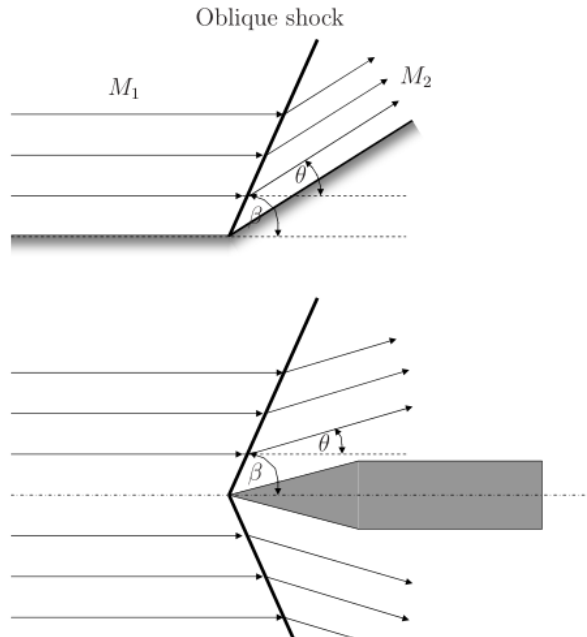


图 4.5: 斜激波导致流体流向的变化

$$M_1 = \frac{M_{1n}}{\sin \beta}$$

$$M_2 = \frac{M_{2n}}{\sin(\beta - \theta)}$$

注意到， $M_1 > 1$ ，但  $M_{2n} < 1$  并不意味着  $M_2 < 1$ 。在经历斜激波后，流体仍然可能是超音速的。

## 4.8 马赫角

对于超音速流体，如图 4.6所示的圆锥顶角称为马赫角  $\mu$ ,

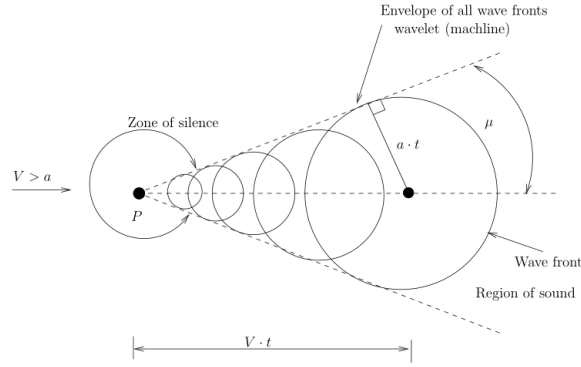


图 4.6: 马赫角

满足

$$\begin{aligned}\mu &= \frac{a}{V} = \frac{1}{M} \\ M &= \frac{1}{\sin \mu} \\ \sin \mu &= \frac{1}{M}\end{aligned}$$

当超音速流体遇到遇到较强的物理约束时，此时斜激波就会产生，并且满足关系

$$M_{1n} = M_1 \sin \beta = \frac{\sin \beta}{\sin \mu} > 1$$

斜激波的角度始终大于马赫角， $\beta > \mu$ 。

## 4.9 偏折角 $\theta$ 与激波倾角 $\beta$ 间的关系

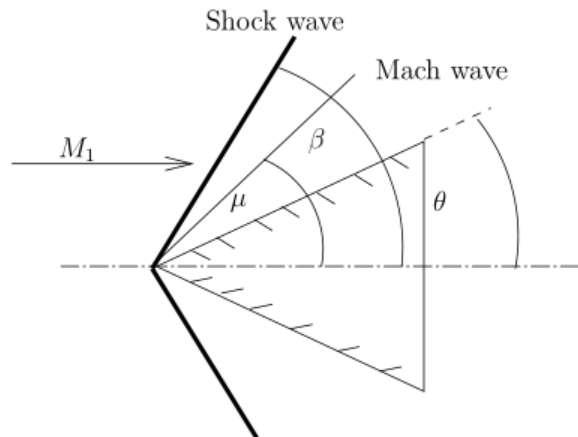


图 4.7: 偏折角与激波倾角间的关系

利用之前的结论，对于斜激波，在法向上，正激波的结论依然适用，因此

$$\frac{\rho_2}{\rho_1} = \frac{\frac{\gamma+1}{2} (M_1 \sin \beta)^2}{1 + \frac{\gamma-1}{2} (M_1 \sin \beta)^2}$$

考虑到激波两侧的连续性，因此

$$\begin{aligned}
 \frac{\rho_2}{\rho_1} &= \frac{V_{1n}}{V_{2n}} \\
 &= \frac{V_{1n}}{V_{1t}} \frac{V_{2t}}{V_{2n}} \\
 &= \frac{\tan \beta}{\tan(\beta - \theta)}
 \end{aligned}$$

## 5 数学

### 5.1 高斯散度定理

$$\iiint_{\Omega} \operatorname{div} \mathbf{A} dv = \oiint_{\Sigma} \mathbf{A} \cdot \mathbf{n} dS$$

其中  $\Sigma$  是空间闭区域  $\Omega$  的边界,  $\mathbf{n}$  为曲面  $\Sigma$  朝外的单位向量。